

線形粘弹性問題の数値解析に関する一試み

信州大学工学部 正員 草間 孝志
 信州大学工学部 正員 三井 康司
 信州大学工学部 学生員 ○岩本 久信

[1] まえがき 線形粘弹性問題の数値解法の一つに、弾性-粘弹性の対応原理を用いる方法がある。この方法は与えられた問題をラプラス変換によって弾性問題に置換して像空間における解を求め、数値ラプラス逆変換をほどこすことによって原空間における解を得るという方法である。この方法の利点は時間方向に差分法を用いて逐次解を追跡していく方法に較べて累積誤差がなく、また応答範囲が時間領域にわたって解を求める場合にも計算時間が少なくてすむ等の利点を有するが、その反面、数値ラプラス逆変換に際して、解の精度を検証する方法がないといった欠点がある。本報告は、主として数値ラプラス逆変換にあたって、ラプラス変数の妥当な数値のとり方について述べたものである。

[2] 仮定関数とスペクトル 粘弹性体
 の準静的問題の解(変位、ひずみ、応力)は一般に(1)の形で与えられ、 $\bar{f}(t)$ の仮定関数としては、(2-a)または(2-b)が用いられる。ここで C_1, C_2, A_i, α_i は定数である。(2-a), (2-b)は特性緩和時間または特性遅延時間に線スペクトルをもつ緩和関数またはクリープ関数と同形であるから、 α の分布を連続的に考へると、たとえば(2-a)に対しては(3)が成立する。 $H(\alpha)$ は材料の応力ひずみ関係の場合、 α を緩和時間で置きかえると緩和スペクトルと呼ばれるものであるが、ここでは材料特性のみならず、構造物の寸法、境界条件、荷重状態に支配され、与えられた問題に対する固有なスペクトルである。一方、(1)のラプラス変換に s を乗ずると(4)を得る。また、 C_1, C_2 は(5)の関係で与えられ、さらに、 $s\bar{f}(s)$ は s に数値を与えることによって対応原理よりラプラス像空間での解として求めることができるゆえ¹⁾、 $s \sim s\bar{f}(s)$ 関係が数値的に得られる。 $H(\alpha)$ は図-1に示すように基本的には $s\bar{f}(s)$ のスチュルチエス変換となるゆえ、たとえば、 $s\bar{f}(s) \rightarrow f(t)$ 変換にter Haarの近似式を、 $f(t) \rightarrow H(\alpha)$ 変換にWidderの逆変換公式より得られるSchwarzlのオーダ近似式を用いると(6)を得る。また、直接スチュルチエス変換公

$$y(t) = C_1 + C_2 t + \bar{f}(t) \quad (1)$$

$$\bar{f}(t) = \sum_i A_i \cdot \exp(-t/\alpha_i) \quad (2-a)$$

$$\bar{f}(t) = \sum_i A_i \{1 - \exp(-t/\alpha_i)\} \quad (2-b)$$

$$\begin{aligned} \bar{f}(t) &= \int_0^\infty F(\alpha) e^{-t/\alpha} d\alpha \\ &= \int_{-\infty}^{\infty} H(\alpha) e^{-t/\alpha} d(\ln \alpha) \end{aligned} \quad (3)$$

$$s\bar{f}(s) = s\bar{y}(s) - (C_1 + C_2/s) \quad (4)$$

$$\left. \begin{aligned} C_1 &= \lim_{s \rightarrow \infty} s\bar{y}(s) \\ C_2 &= \lim_{s \rightarrow 0} s^2 \bar{y}(s) \end{aligned} \right\} \quad (5)$$

$$s\bar{f}(s) \xrightarrow{\text{ラプラス逆変換}} f(t) \xrightarrow{\text{ラプラス変換}} H(\alpha)$$

スチュルチエス逆変換

図-1

$$H(\alpha) = \left| \left[\frac{d\{s\bar{f}(s)\}}{d(\ln s)} \right]_{s=\frac{1}{\alpha}} \right| \quad (6)$$

$$H(\alpha) = \frac{1}{2} \left| \left[-\frac{d\{s\bar{f}(s)\}}{d(\ln s)} + \frac{d^3\{s\bar{f}(s)\}}{d(\ln s)^3} \right]_{s=\frac{1}{\alpha}} \right| \quad (7-a)$$

$$\begin{aligned} H(\alpha) &= \frac{1}{6} \left| 4 \frac{d\{s\bar{f}(s)\}}{d(\ln s)} - 5 \frac{d^3\{s\bar{f}(s)\}}{d(\ln s)^3} \right. \\ &\quad \left. + \frac{d^5\{s\bar{f}(s)\}}{d(\ln s)^5} \right]_{s=\frac{1}{\alpha}} \end{aligned} \quad (7-b)$$

1) たとえば、 $s\bar{f}(s) \rightarrow f(t)$ 変換にter Haarの近似式を、 $f(t) \rightarrow H(\alpha)$ 変換にWidderの逆変換公式より得られるSchwarzlのオーダ近似式を用いると(6)を得る。また、直接スチュルチエス変換公

式を適用して $H(\alpha)$ を求めると、オ一、オニ近似式として(7-a), (7-b)を得る。

[3] ラプラス数値逆変換におけるSのとり方
数値逆変換におけるSのとり方は、従来各自適当に選択している。たとえば、Cost²⁾はPapoulis の提案した方法、すなわち、偶関数のルジマンドル多項式 $y(t) = f(t) = \sum_{i=0}^n C_i \cdot P_{2i}(e^{-Y_0 t}) = A_0 + \sum_{i=1}^n A_i e^{-X_i Y_0 t}$ を仮定したときの未定係数は、 $s_i = (2i+1)Y_0$, ($i=0, 1, 2, \dots$) とおくことによって得られるが、 Y_0 の値は $-2.0 \leq \log Y_0 t \leq 0$ を満足するような各時間帯で変えるべきだと述べてあり、丹羽、小林、中島³⁾は熱伝導問題の過渡応答解析にラプラス逆変換を利用し、 $S = 0.01, 0.02, 0.04, \dots, 5242.88$ の計20個のSをとって逆変換を行なっている。また、Young, Liggett⁴⁾は湖流(Lake Circulation)の計算に $S = 2 \times 10^5, 2 \times 10^4, \dots, 2 \times 10^2$ の計8個のSをとて逆変換を行なっている。このように逆変換に際してのSのとり方につけば、大まかに目安さえもないといえよう。一方、赤木⁵⁾は遅延スペクトルが卓越するまでの遅延時間を求めて粘弾性定数を決定する方法を示している。この方法はクリープ実験に指數実験を仮定する場合には合理的な方法である。したがって、本文の場合には $S \bar{f}(s)$ から $H(\alpha)$ の卓越する α_i を見出し、(2)の α_i が、その指定した α_L に関する指數実験に満足するよう S_L を用いてラプラス逆変換をほどこせば $\gamma(t)$ の精度はよくなるものと考えられる。

[4] 計算例
図-2は山田著：塑性・粘弾性(^{p.161})の問題をルジマンドル多項式を用いて解いた例で、(6)を用いて ε_x の $H(\alpha) \sim (1/\alpha)$ を図示したものであり、 $H(\alpha)$ が卓越する点を重視し、 $Y_0 = 0.1$, $S = (2i+1)Y_0$, $i = 1$ にて逆変換を行なえば図中に表示するように解の精度はよい。図-3はLee⁶⁾が取り扱った問題で、(6), (7)を用いて σ_b/p_0 の $H(\alpha) \sim (1/\alpha)$ を図示したものである。この場合にも、偶然 $Y_0 = 0.1$ となつた。図-4は図-3の問題について、 r/b をえたときの $H(\alpha) \sim (1/\alpha)$ を示す。 $H(\alpha)$ の傾向が同じであることから、 Y_0 は r/b に無関係に定めめてよいことがわかる。

[5] 結言
以上、主としてラプラス逆変換に際してのSのとり方について論じたが、スペクトルが箱型分布をする場合、またはピーグが数箇で生ずる場合などを想定して任意な α_i に対する直交指數実験を求めてみたが、これについては当日発表の予定である。

文献 1) 草間三井、入口：32回土木年次講演I-47, 2) Cost:
AIAA J. Vol. 2, No. 12, 1964, 3) 丹羽、小林、中島：31回土木年次
講演I-303, 4) Young, Liggett: ASCE, Vol. 99, No. HY2, Feb.
1977, pp. 109~121, 5) 赤木：土と基礎 25-3, 1977, 6) Lee: Trans. Soc. Rheol. III, 1959, pp. 41~59

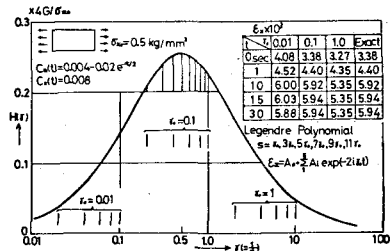


図-2

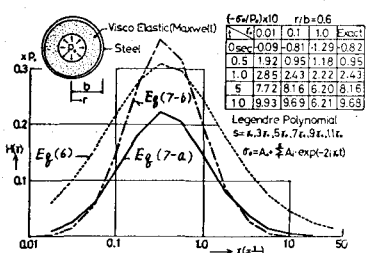


図-3

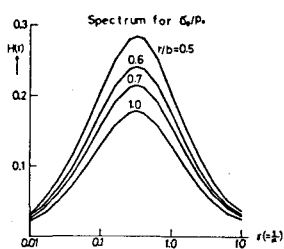


図-4